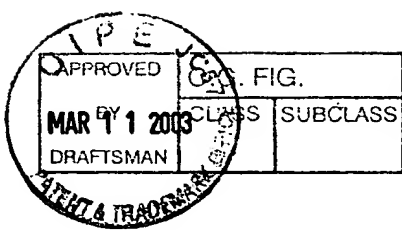
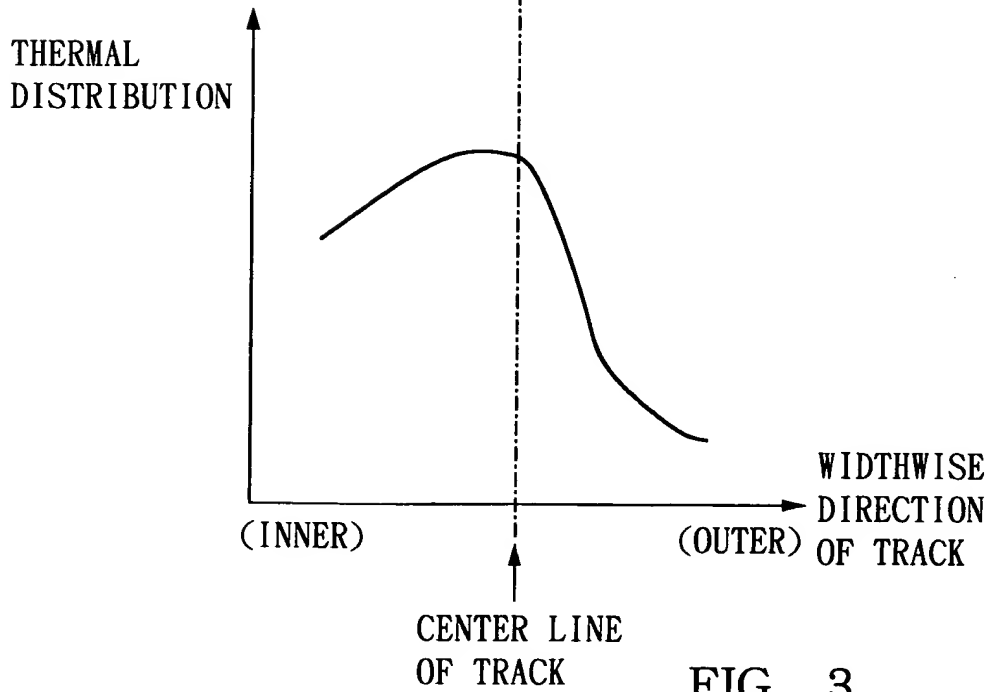
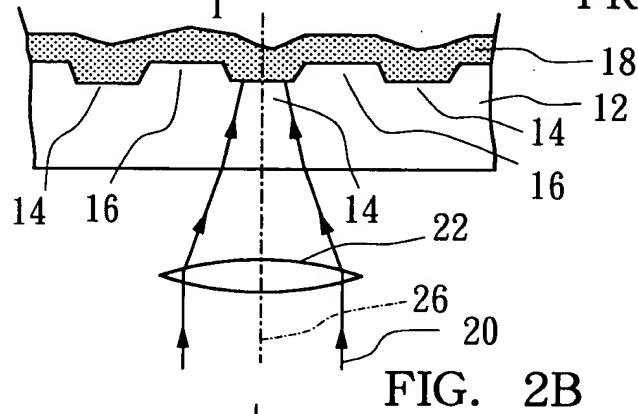
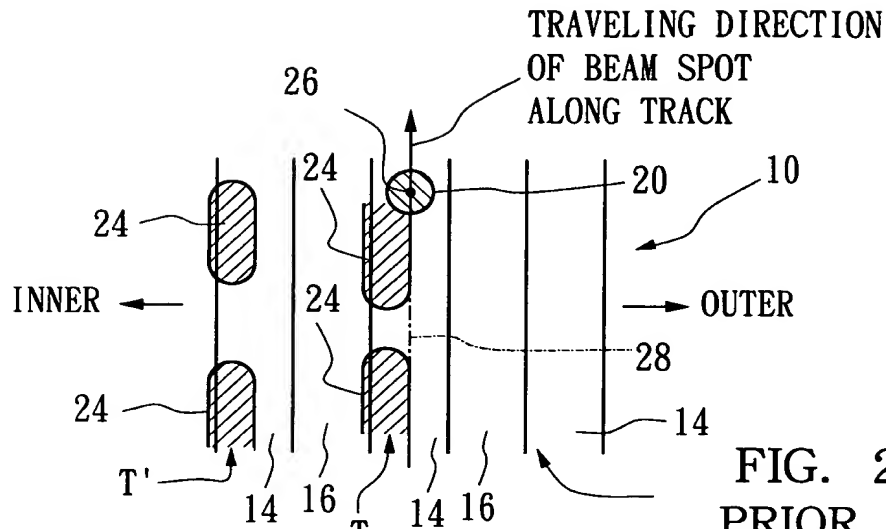
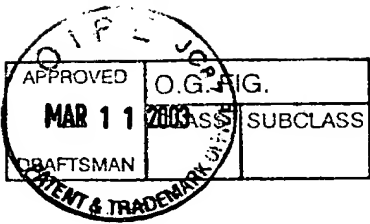


FIG. 1



2/15





3/15

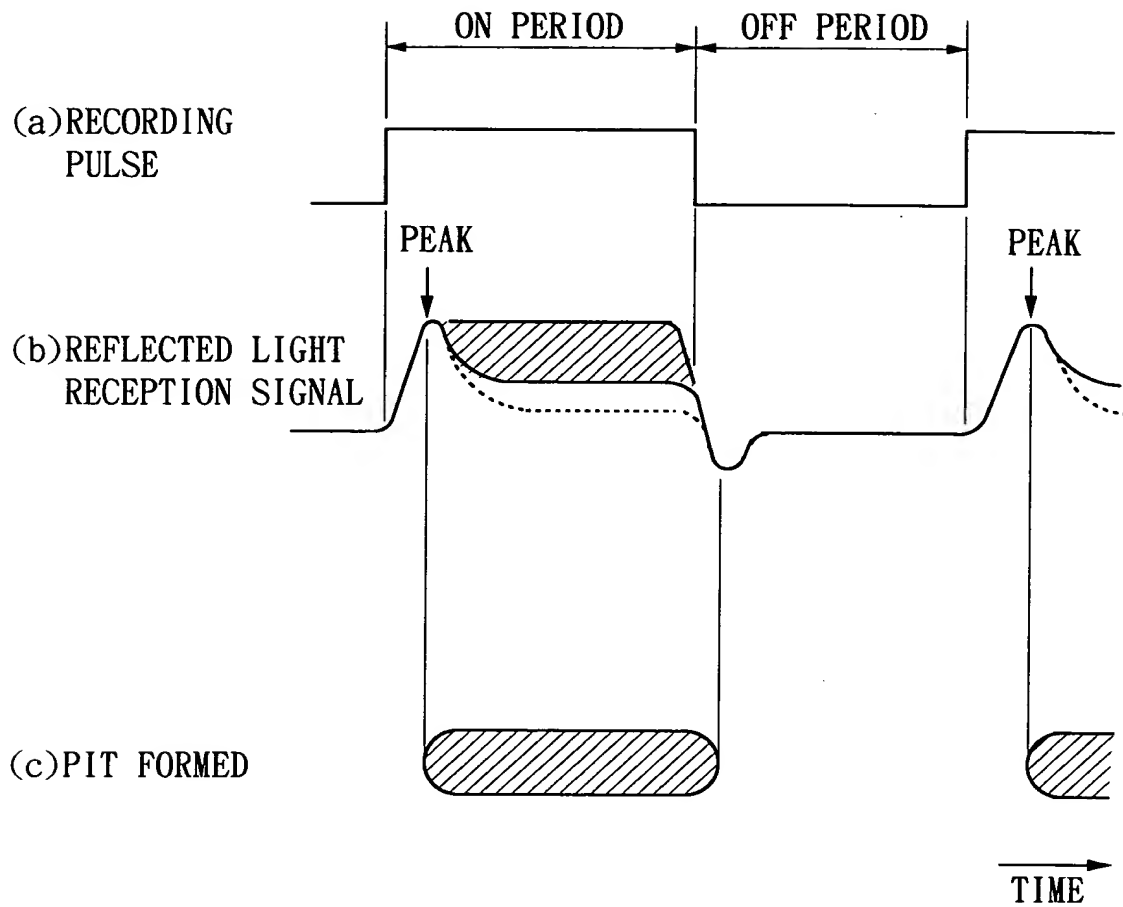


FIG. 4
PRIOR ART

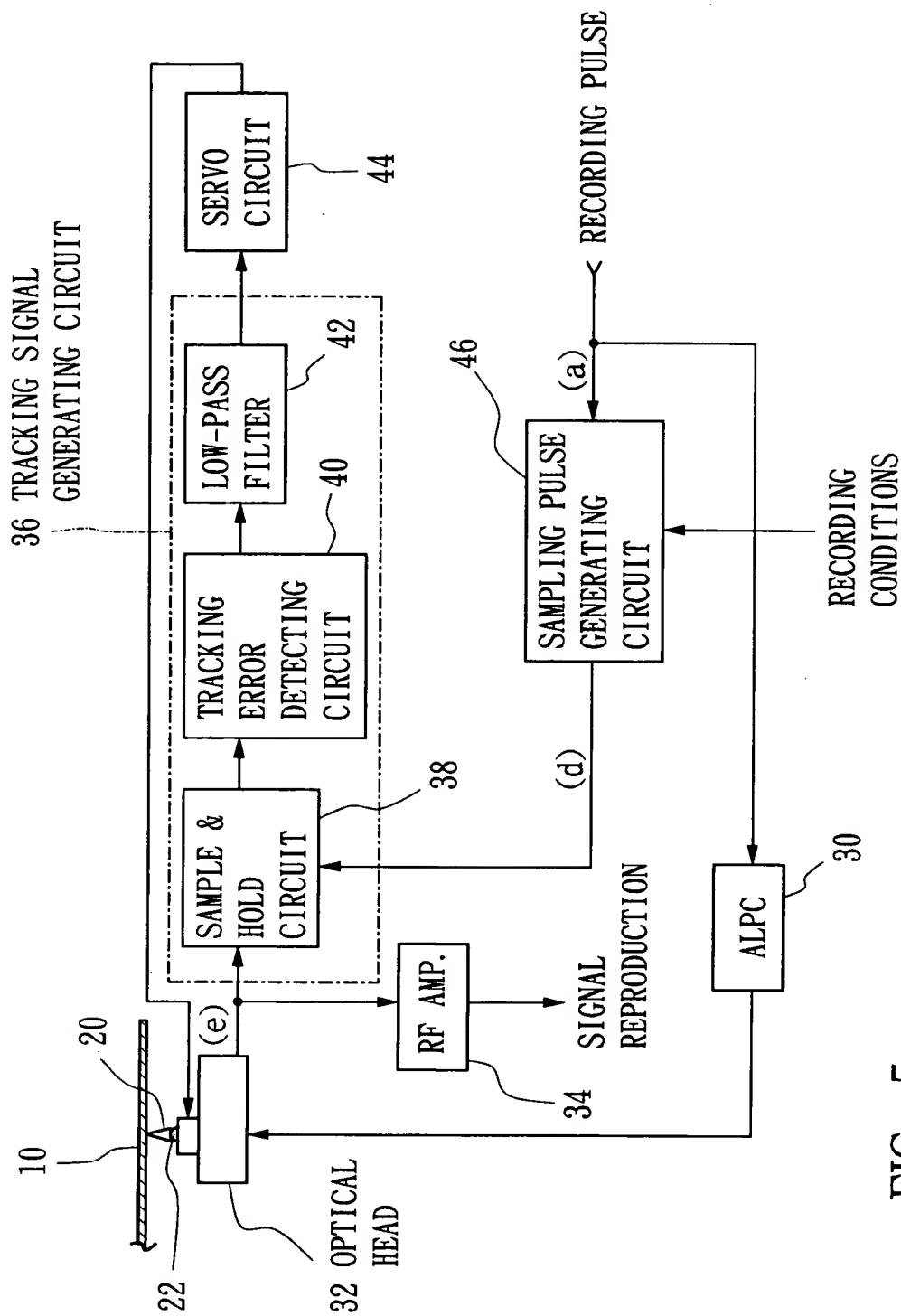


FIG. 5

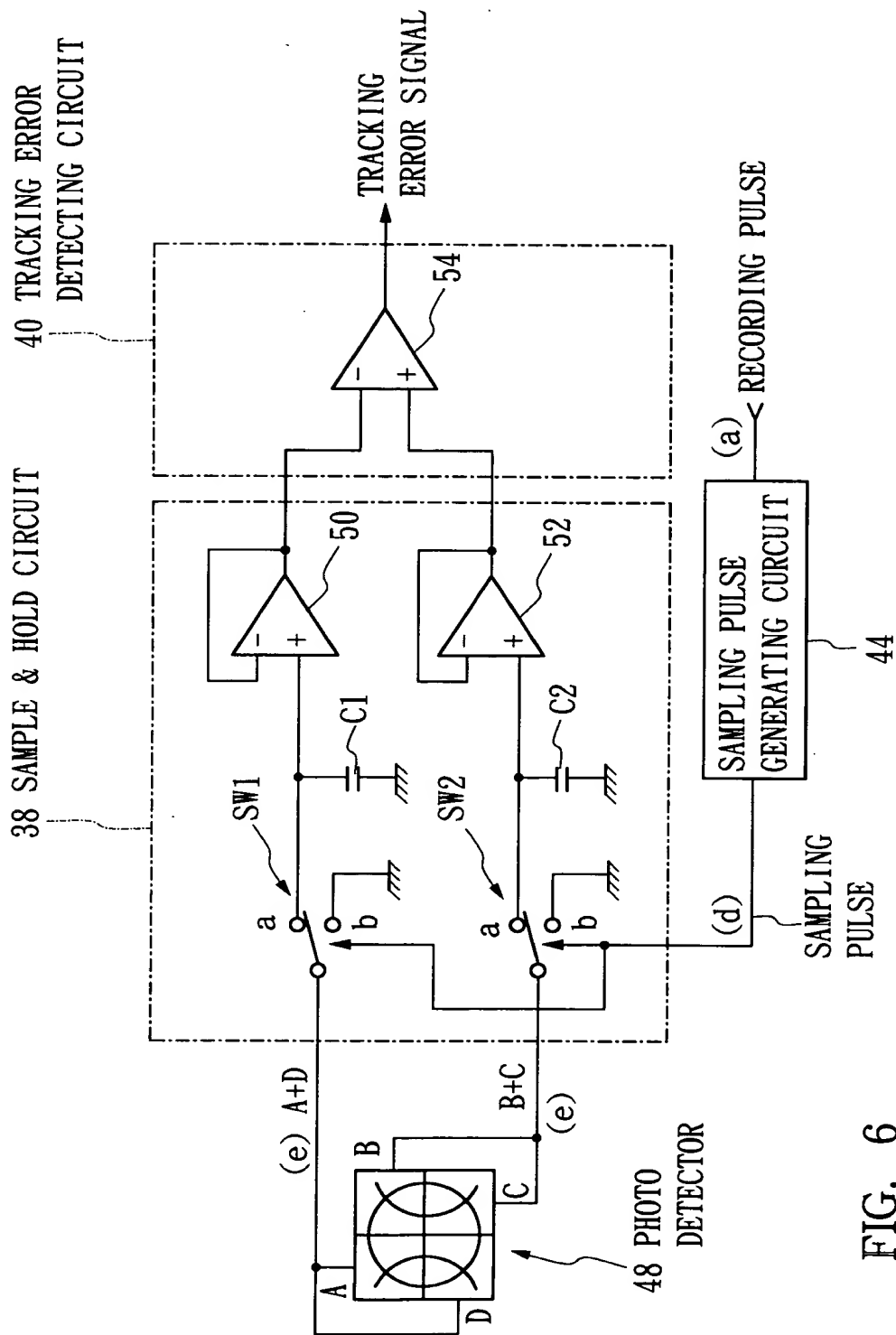


FIG. 6

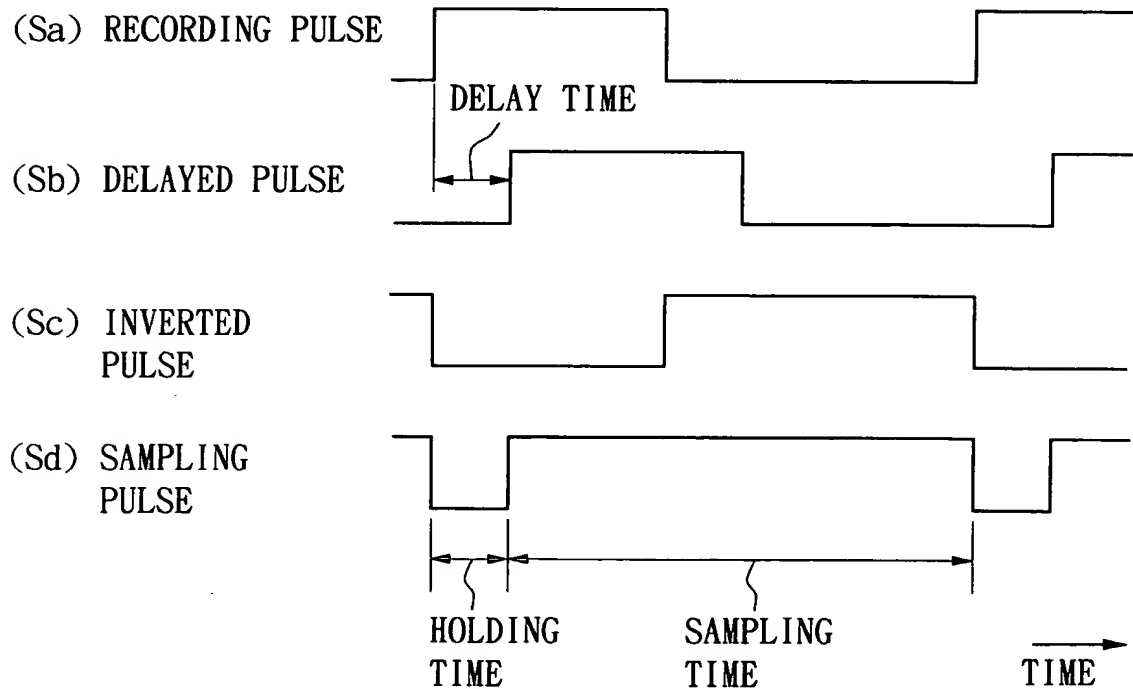
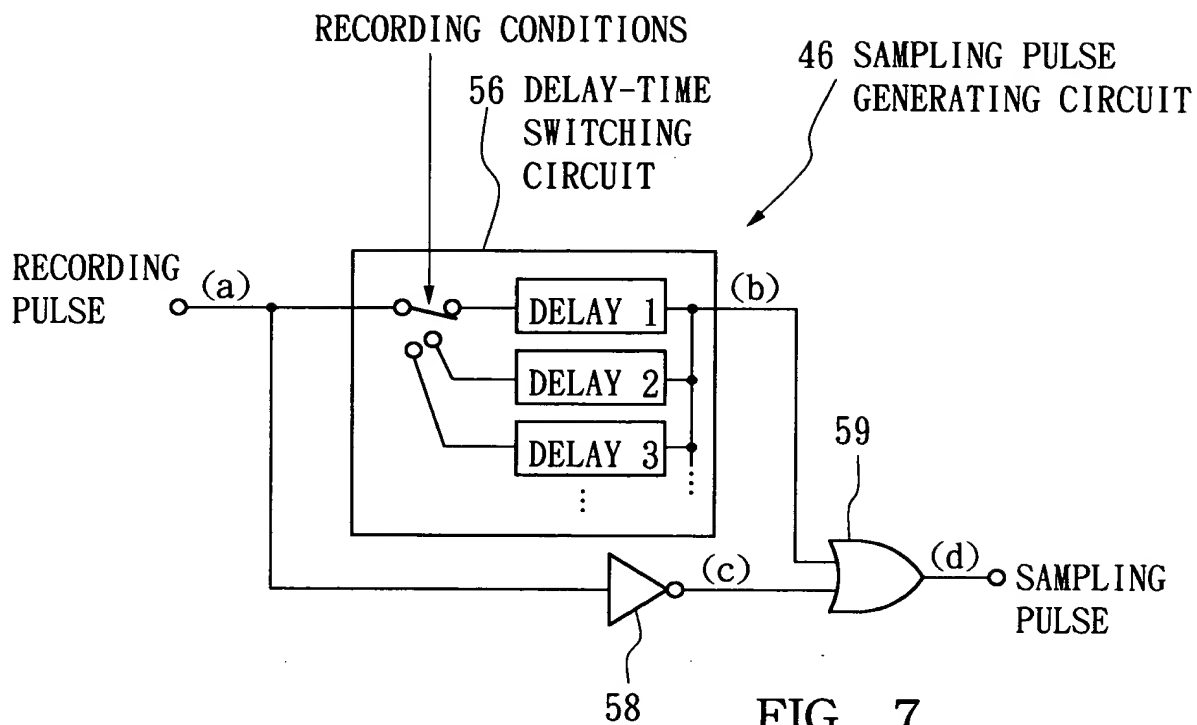


FIG. 8

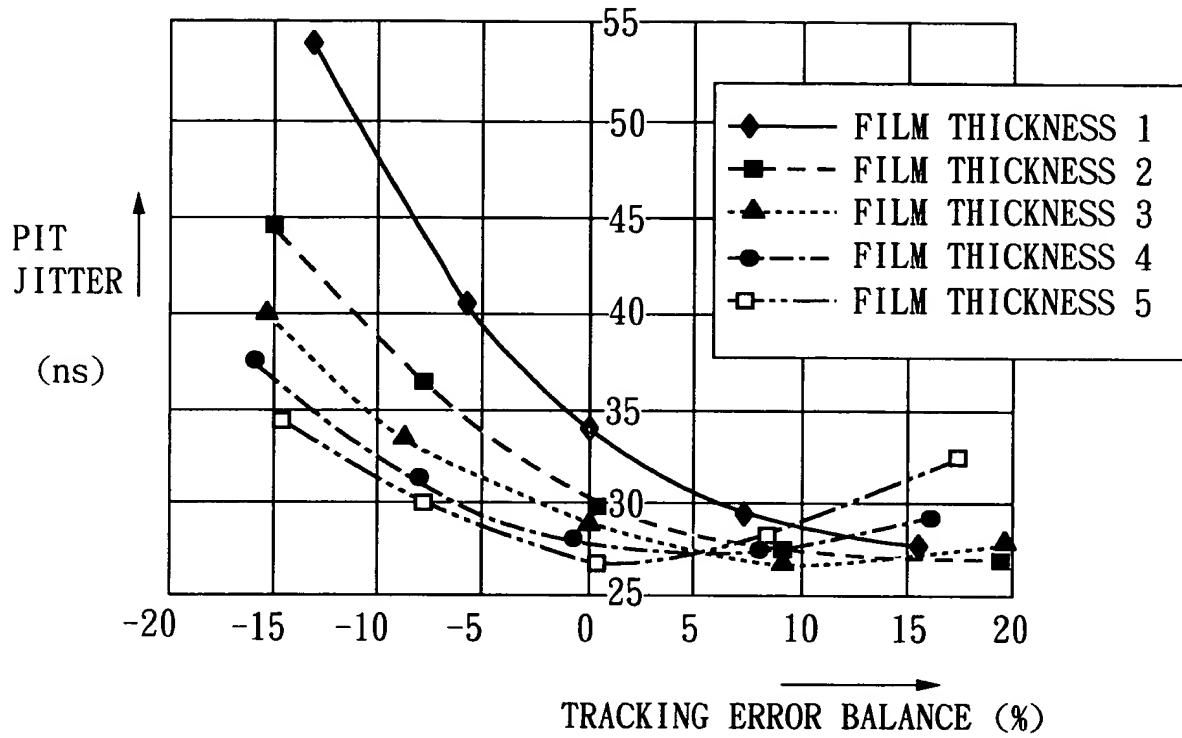


FIG. 9

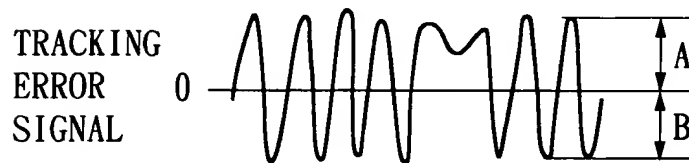


FIG. 10

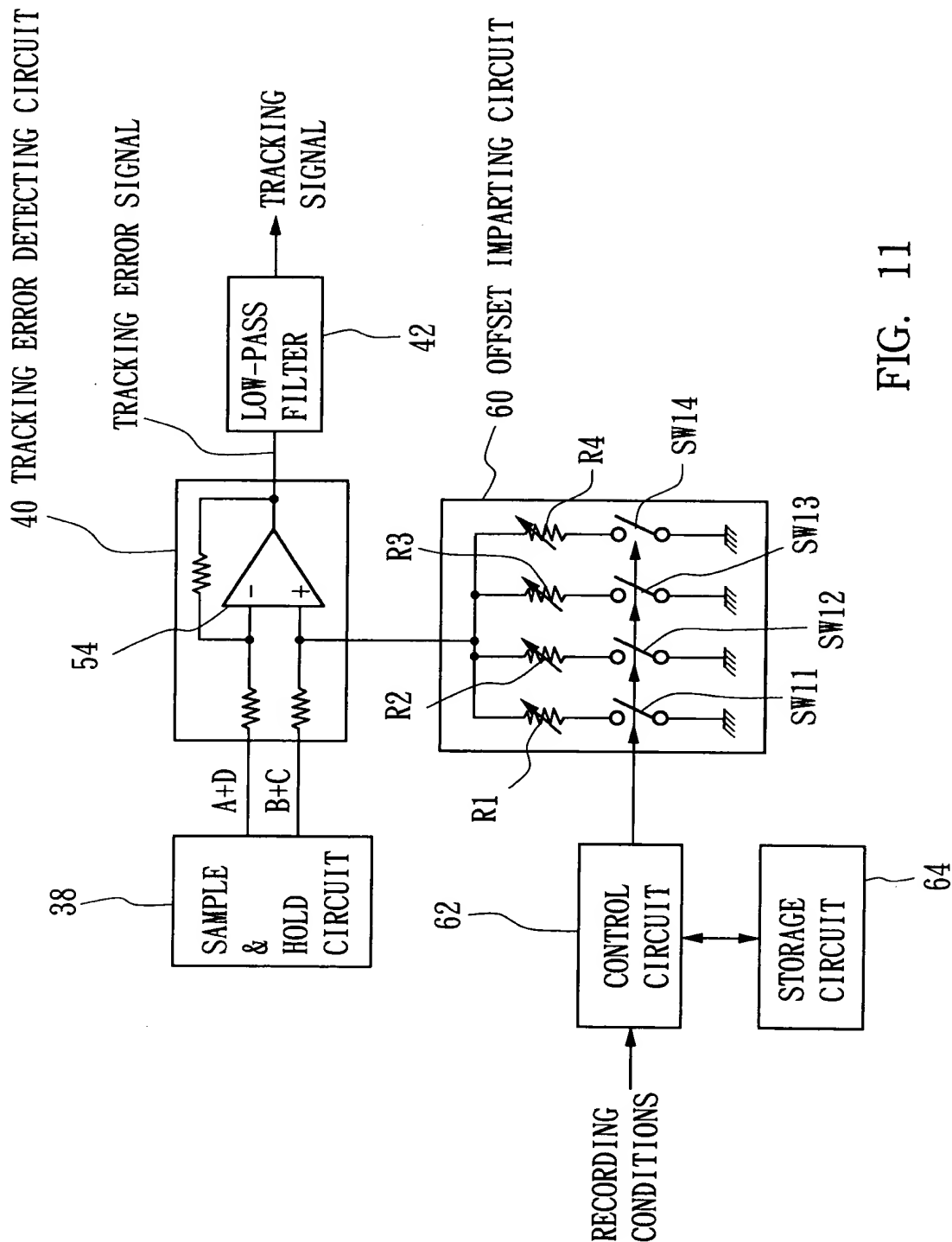


FIG. 11

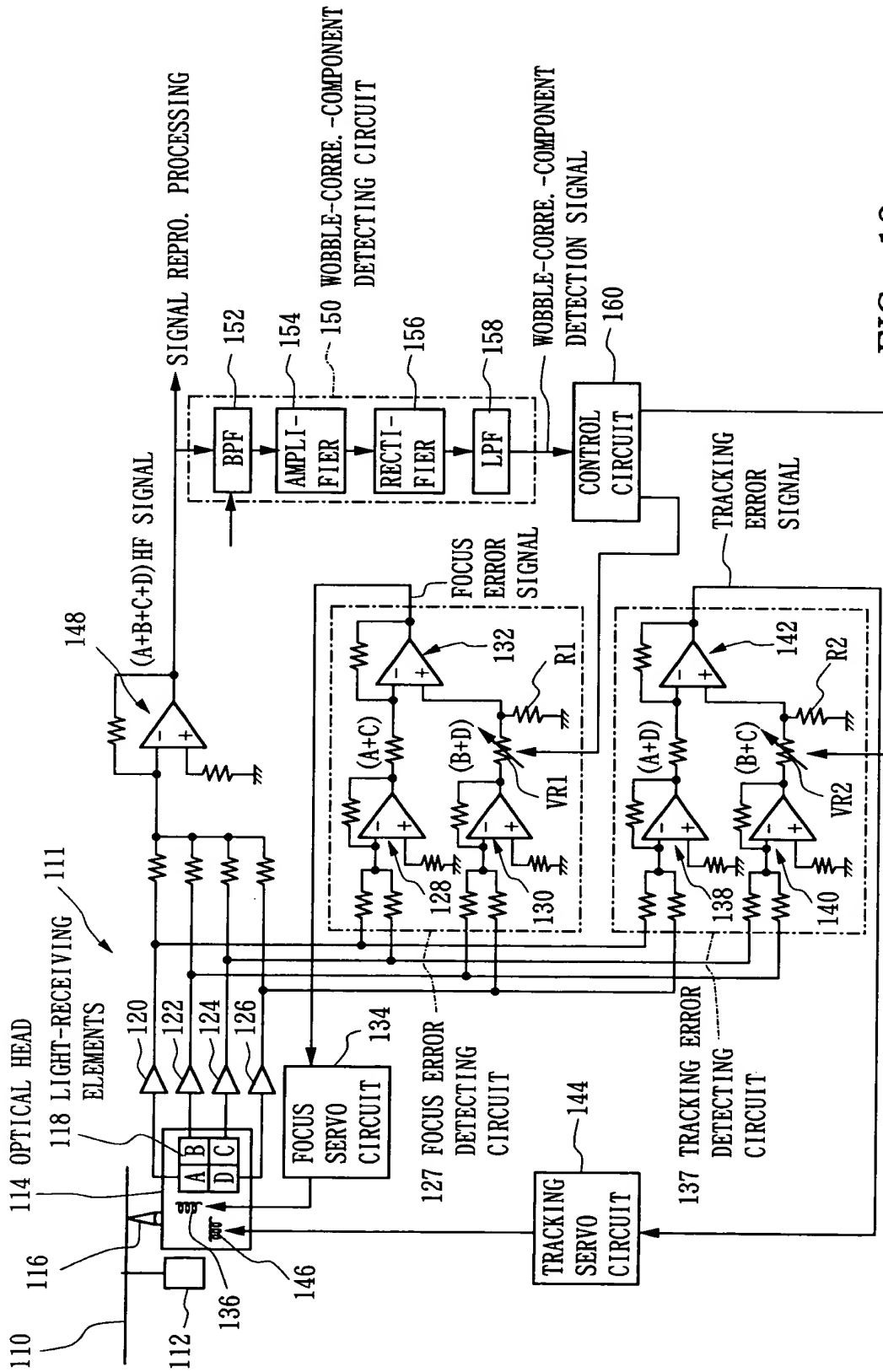


FIG. 12

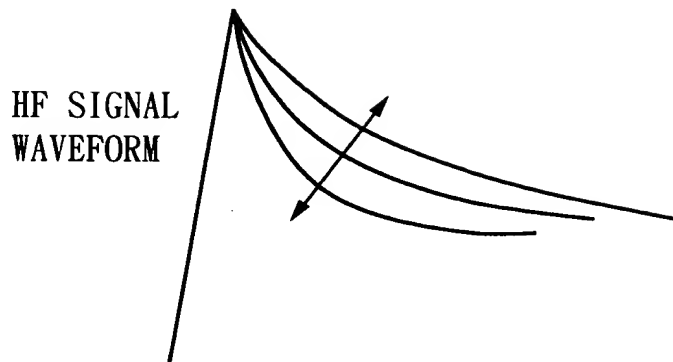


FIG. 13
PRIOR ART

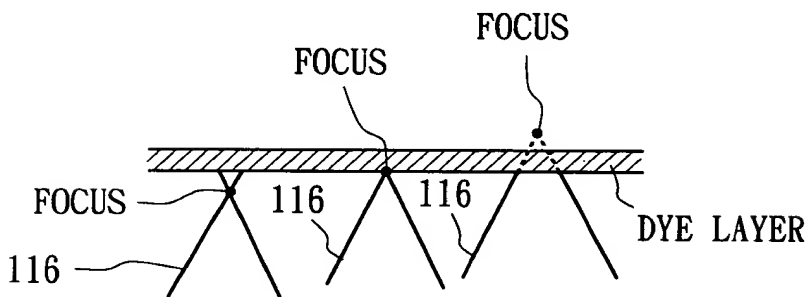


FIG. 16A

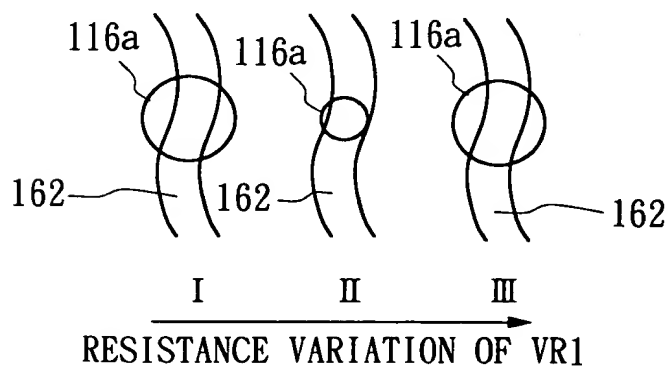
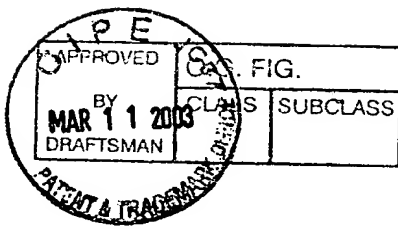


FIG. 16B



11/15

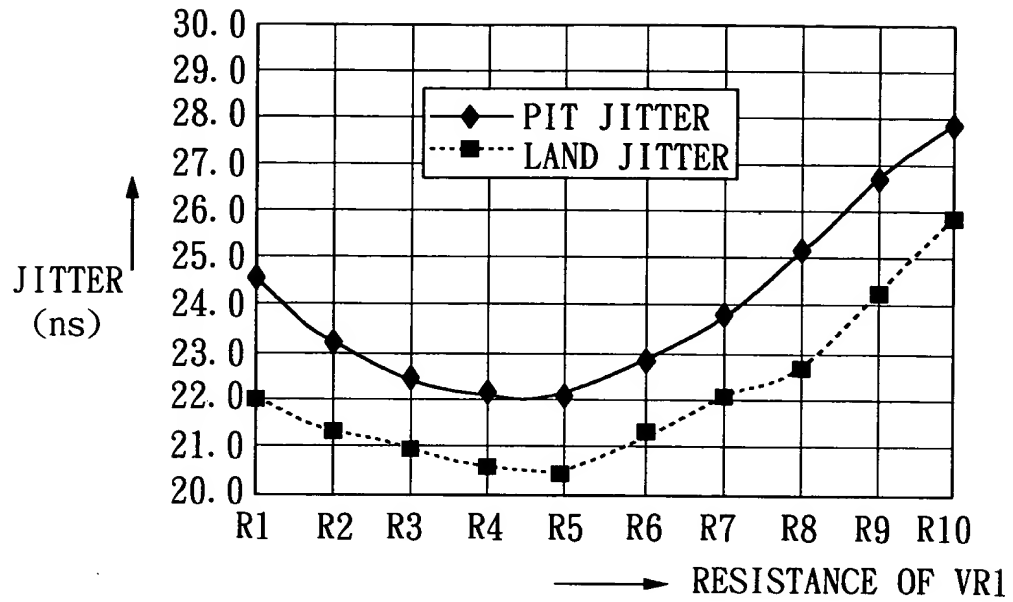


FIG. 14

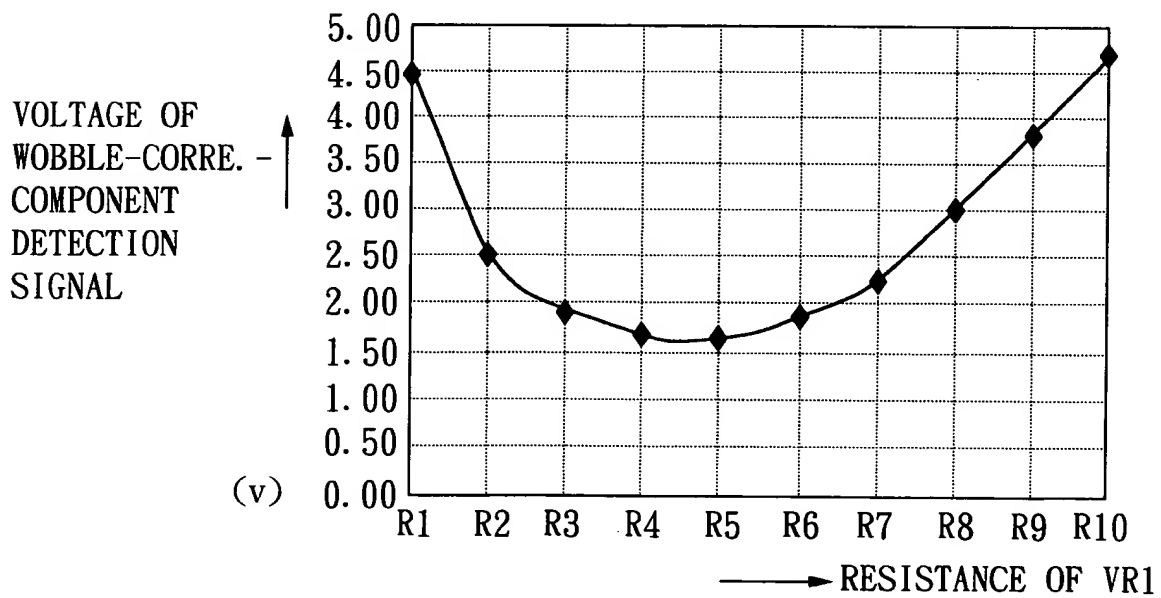


FIG. 15

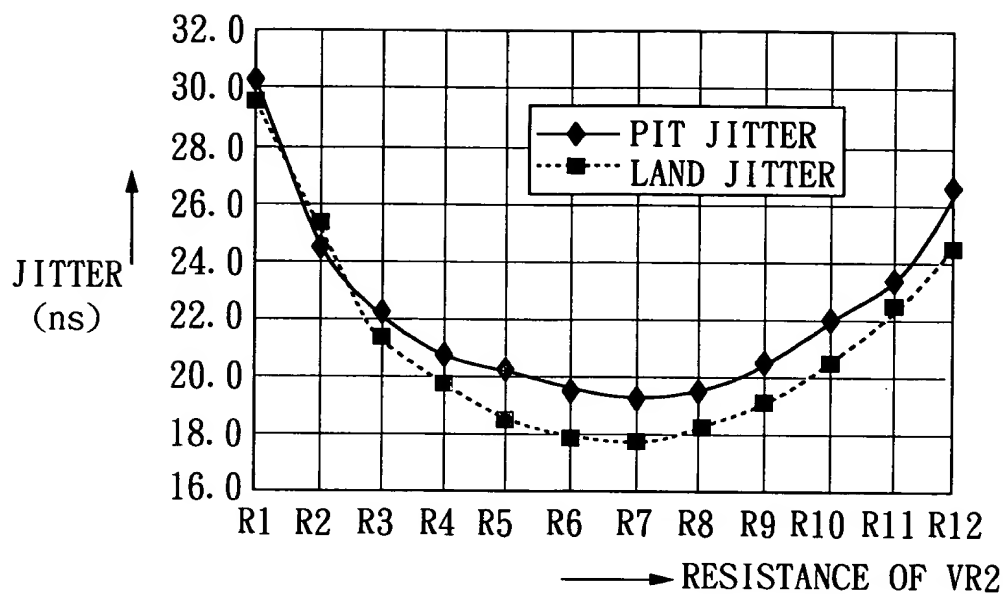


FIG. 17

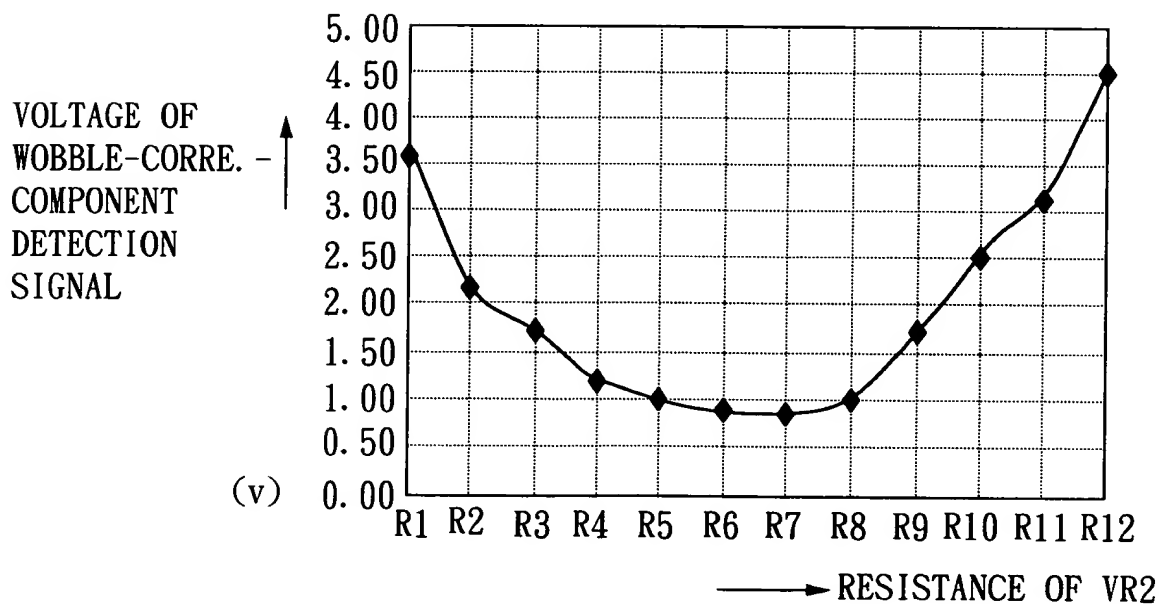
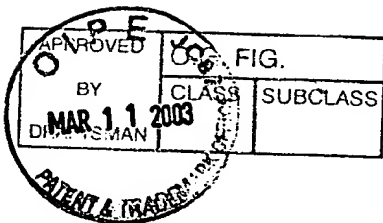


FIG. 18



13/15

TRACKING
ERROR SIGNAL

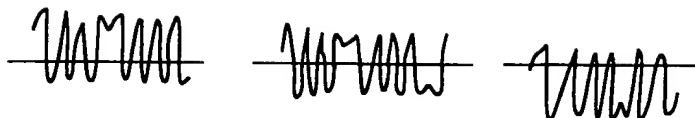
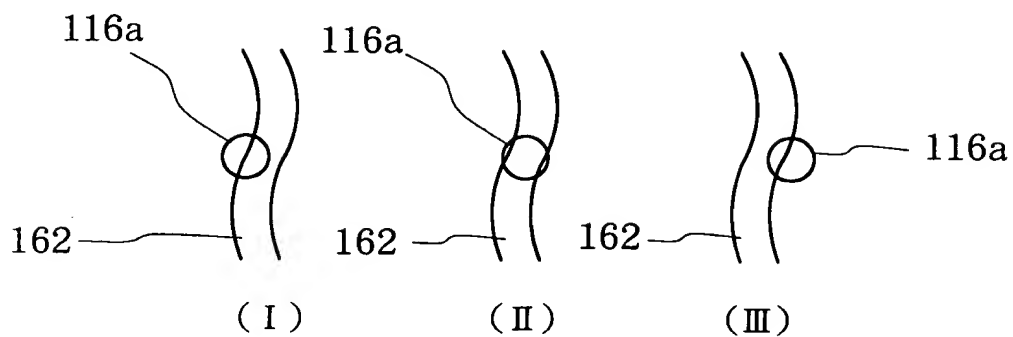


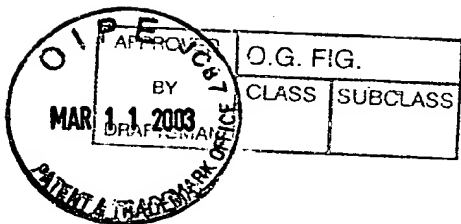
FIG. 19A



RESISTANCE VARIATION OF VR2

FIG. 19B





15/15

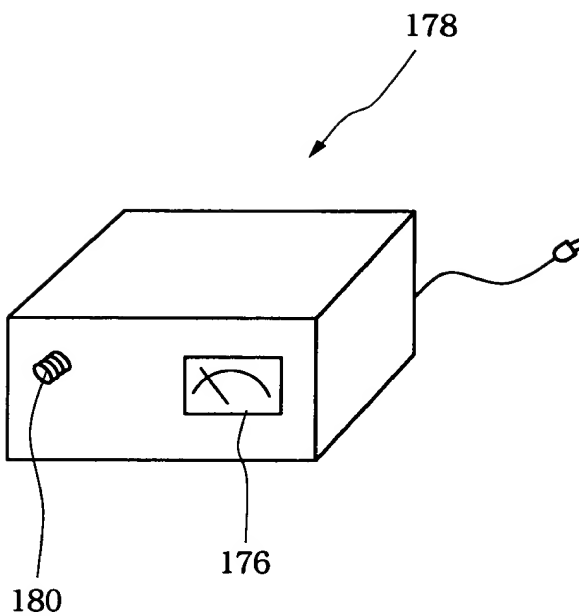


FIG. 21A

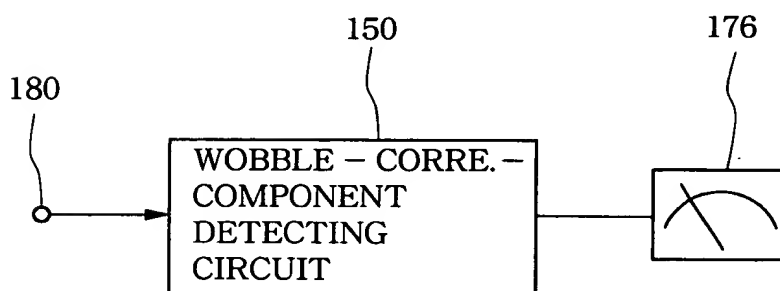


FIG. 21B